

وابستگی شکل مغناطیس سپهر (مگنتو سفر) به مقاومت ویژه محیط در شبیه سازی های جهانی مگنتوهیدرودینامیک

براطعلی فیض آبادی^{۱*}، محمود میرزا بی^۲ و ناصر حسین زاده گویا^۳

استادیار، گروه فیزیک، دانشگاه تربیت معلم سبزوار، ایران

استادیار، دانشکده علوم دانشگاه اراک، ایران

^۳دانشیار، گروه فیزیک زمین، مؤسسه ژئوفیزیک دانشگاه تهران، ایران

afeizabady@yahoo.com, m-mirzaei@araku.ac.ir, n_guya@yahoo.com

(تاریخ دریافت: ۱۳۸۷/۵/۱۴، تاریخ پذیرش: ۱۳۸۸/۹/۲۲)

چکیده

برهم کنش میدان مغناطیسی زمین با باد خورشیدی منجر به پدیده های مهمی شده است. محدوده وسیعی از فرایندهای فیزیکی درسامانه باد خورشیدی - مغناطیس سپهر وجود دارد و درنتیجه طیفی از روش ها شامل بررسی های جامع پدیده های انتخابی با فرض یک هندسه میدان مشخص و با شرایط مرزی معین تا شبیه سازی کامل سه بعدی با فرض مگنتوهیدرودینامیک برای بررسی آنها به کار رفته است. در این تحقیق روش شبیه سازی جهانی برای توصیف اتصال مجدد به کاررفته و این شبیه سازی در دستگاه بیضوی خورشیدی مرکز زمینی صورت گرفته است که در آن معادلات مگنتوهیدرودینامیک به شکل پایستار برای برهم کنش باد خورشیدی و مغناطیس سپهر حل شده است.

برای آنکه تأثیر مقاومت ویژه روی مکان و زمان پدیده اتصال مجدد بررسی شود، شبیه سازی با انتخاب مقاومت های ویژه متفاوت صورت گرفته است. نتایج حاصل از شبیه سازی نشان می دهد که مکان و زمان اتصال مجدد مغناطیسی بستگی زیادی به مقاومت های ویژه انتخاب شده، به ویژه 0.001 اهمتر دارد. شکل های رسم شده برای مقاومت ویژه کمتر از 0.001 و بزرگ تر از 0.01 اهمتر نشان می دهند که گویی شکل مغناطیس سپهر هیچ گونه تاثیری از برهم کنش بین باد خورشیدی و مغناطیس سپهر نداشته است و لذا هیچ اتصال مجددی نیز به وقوع نمی پیوندد.

براساس نتایج به دست آمده از این تحقیق پیشنهاد می شود که همرفتی جهانی مرتبط با اتصال مجدد می تواند با محاسبه انتقال انرژی، جرم یا میدان مغناطیسی روی مرزهای مناطق خطوط باز و بسته میدان براساس الگوهای مقاومتی متفاوت، صورت گیرد. در این تحقیق همچین مقدار متفاوت مقاومت ویژه برای عملی ساختن شبیه سازی آزمایش شده و الگوی بهینه تحت شرایط اولیه معین، مشخص شده است. نتیجه این تحقیق که تعیین دقیق چگونگی شکل گیری پدیده اتصال مجدد است، می تواند نقش مهمی در آسیب شناسی پدیده های هوافضایی داشته باشد.

واژه های کلیدی: اتصال مجدد مغناطیسی، مقاومت ویژه، شبیه سازی مگنتوهیدرودینامیک، انتقال جرم و انرژی، مغناطیس سپهر

*Corresponding author:

afeizabady@yahoo.com

*نگارنده رابطه:

Relation of Magnetosphere's shape to medium resistivity in global magnetohydrodynamic's simulation

Baratali Feizabady^{1*}, Mahmoud Mirzaei² and Naser Hosienzadeh Guya³

¹*Physics Department, Sabzevar Tarbiat Moallem University, Sabzevar, Iran*

²*Physics Department, Arak University, Arak, Iran*

³*Earth Physics Department, Institute of Geophysics, University of Tehran, Iran*

(Received: 04 August 2008, accepted: 13 December 2009)

Summary

The interaction of the solar wind with the Earth's magnetic field gives rise to a number of important phenomena. These include reconnection between the solar wind magnetic field and geomagnetic field lines, reconnection in the magnetotail, plasma convection in the magnetosphere/ionosphere, generation of a field-aligned current system, and energetic particle injection. A wide range of physical process is involved in the solar wind-magnetosphere system, and consequently a wide array of methods has been used to study them, ranging from detailed studies of selected phenomena with the assumption of a specific field geometry or boundary condition, to fully three-dimensional simulation with a Magneto-hydrodynamics (MHD) assumption.

Almost fifty years ago, was proven that the magnetic field lines could be broken and then reconnected with other magnetic lines, a process that is called magnetic reconnection. After that time, the concept of magnetic reconnection found important applications in space studies to provide the safety conditions for satellites and space crafts for the first time in 1961 this concept was applied to the geomagnetosphere and used to express the basic model for magnetospheric convection that happens on magnetopause and magnetotail during magnetic reconnection. Also in 1964, the first quantitative model of magnetic reconnection regarding solar flares was developed and introduced in a model that could describe the fast rate of energy release in solar ejections. The conventional definition of magnetic reconnection indicates that the phenomena occurs on the electric field parallel with the X-Line, however, for many reasons there has been a problem in modeling Magnetohydrodynamic simulations: It is possible that determining the X-Line accurately in irregular magnetopause is very difficult or impossible due to the lack of an unknown real resistivity model, which prevents the establishment of a reliable non-convectional electric field.

The simulation of MHD was performed in a Geocentric Solar Ecliptic coordinate system and with magneto- hydrodynamics equations in steady state form to quantify interaction between solar wind and magnetosphere. Simulation space included an area with dimensions of $90 \times 60 \times 60$ times of earth radius (Re), for which the spatial and time steps for modeling were chosen as $0.5 Re$ and 0.937 s, respectively. Cells which construct the model for simulation were 326000 in number. A magnetic dipole in the origin and electrostatic equations for ionosphere were considered.

To investigate the effect of resistivity on the place and time of magnetic reconnection, simulation was executed with consideration of different resistivity values. The results of the performed simulations showed that the place and time of magnetic reconnection depend largely on the variations of resistivity selected for the modeling, especially at the level of 0.0001 Ohm-m. Figures plotted from the simulation results formed with resistivities of less than 0.00001 and greater than 0.01 Ohm-m depicted the shape of the magnetosphere such that interaction between solar wind and the magnetosphere field appear not to have occurred or created any reconnection.

Generally speaking, this study applied the global MHD simulation to describe the magnetic reconnection. It has been proposed that the global convection related to magnetic reconnection can be determined by a calculation the energy, mass, or magnetic field transfer on open–closed field line boundaries based on different resistivities models.

This study also examined the different values of specific resistivity for running simulations and determined the optimum model under known initial conditions.

Key words: Magnetic reconnection, specific resistivity, magnetohydrodynamics simulation, mass and energy transfer, magnetosphere

که آنها اغلب یادآوری فرض‌های نظری به جای شبیه‌سازی‌های عملی هستند. هدف ما در این مقاله گسترش روش‌هایی برای بررسی اتصال مجدد در شبیه‌سازی‌های MHD بزرگ‌مقیاس است. ما روی مغناطیس‌سپهر متمرکز می‌شویم ولی اعتقاد داریم بعضی ایده‌هایی که در اینجا عرضه می‌شوند می‌توانند در مباحثات دیگر در فیزیک پلاسمای مفید واقع شوند. برای امتحان و تشریح روش‌های عرضه شده، برنامه مگنتو‌هیدرودینامیک ایدئال را به کار می‌بریم. این یک شبیه‌سازی سه‌بعدی جهانی از جفت‌شدگی سامانه بادخورشیدی–مغناطیس‌سپهر–یون‌سپهر است. قسمت مورد توجه برای ما در این تحقیق مغناطیس‌سپهر است که معادلات MHD ایده‌آل در شکل پایستار را برای آن حل می‌کنیم. در اینجا هیچ مقاومت الکتریکی واضحی وجود ندارد و پخش در شبیه‌سازی از راه حل عددی تولید می‌شود.

در برنامه رایانه‌ای مورد استفاده در این تحقیق، روش حجم محدود به کار می‌رود و از حل رو (Roe solver) به منظور حل مسئله ریمان برای محاسبه شارش کمیت‌های پایستار در مرز تداخلی سلول‌ها استفاده می‌شود (لیوکیو، ۱۹۹۲).

در موارد نادری که روش رو (Roe) حالت‌های بیسابی با فشار منفی تولید می‌کند، روش هارتمن–لاکس–وان لیر به کار می‌رود (Harten, Lax, VAN Leer). برای ابیای $\nabla \cdot B = 0$ ، از پاک‌کننده‌ی پیضی

۱ مقدمه

امروزه بسیاری از پدیده‌هایی که اتصال مجدد در آنها نقش دارد با استفاده از شبیه‌سازی مگنتو‌هیدرودینامیک (Magnetohydrodynamics MHD) مدل‌سازی می‌شوند. برای مثال معلوم شده است که اتصال مجدد در شبیه‌سازی جهانی مغناطیس‌سپهر رخ می‌دهد (دانگی، ۱۹۶۱؛ پارکر، ۱۹۵۷؛ سویت، ۱۹۵۸؛ پتسچک، ۱۹۶۴؛ والکر و همکاران، ۱۹۹۳؛ فدر و همکاران، ۱۹۹۵؛ لا یتین و همکاران، ۲۰۰۵).

بعضی نویسنده‌گان دیگر نیز در زمینه انتقال انرژی خورشیدی (پالمورت و همکاران، ۲۰۰۳) کار کرده و برخی نیز تاثیر باد خورشیدی بر مغناطیس‌سپهر را بررسی کرده‌اند (هاتیونن و همکاران، ۲۰۰۰). با وجود این، تجزیه و تحلیل کمی فرایند اتصال مجدد در شبیه‌سازی‌های MHD و نیز بررسی مفاهیم شبیه‌سازی شده، به دلیل اینکه توصیف نظری اتصال مجدد اغلب غیر عملی و حتی بعضی اوقات غیرممکن است، بسیار مشکل است. بررسی‌های وسیعی روی اتصال مجدد از راه شبیه‌سازی‌های خاص صورت گرفته است. برای مثال مباحثات اتصال مجدد مغناطیسی مدل‌سازی محیطی (reconnection challenge magnetic GEM) آهنگ اتصال مجدد را در انواع گوناگون برنامه‌های شبیه‌سازی تحت شرایط مرزی استاندارد مقایسه کرده است (برن و همکاران، ۲۰۰۱). این شبیه‌سازی‌های نظری برای درک اتصال مجدد مفید هستند، اما به نظر می‌رسد

نیست: میدان $(B_x, B_y, B_z) = (y, x, 1)$ در هر نقطه دلخواه (x_0, y_0, z_0) که یک نقطه اتصال در یک صفحه با جهت گیری مناسب است مثال ساده آن است. در این حالت هر خط میدان، یک خط اتصال است. در این ساختار، پلاسما می تواند در عرض جدا کننده های ظاهری شارش یابد؛ حتی اگر هیچ مؤلفه میدان الکتریکی در طول جدا کننده وجود نداشته باشد و خطوط میدان نیز اینجا شوند این به دلیل نبود تمایز فضایی مناطق میدان و در نتیجه نبود جدا کننده های واقعی در این نوع ساختار است. این مثال نشان می دهد که یک X-Line در اتصال مجدد در حالت کلی نمی تواند با درنظر گرفتن صرف هندسه میدان مغناطیسی محلی و شار پلاسما، تعیین شود. در بخش های بعدی شرح خواهیم داد که چگونه می توان این مسئله را در تحقیقات مغناطیس سپهری از راه تعریف جدا کننده روی خواص جهانی خطوط میدان، بدون رجوع به هندسه محلی میدان و با شبیه سازی جهانی حل کرد. همچنین برای دیگر محیط های مشابه از جمله تاج (کرونای) خورشیدی نیز می توان تعریف مشابهی عرضه کرد.

۳ E_{II} و مسائل آن در MHD

نویسنگان متعددی (آکسفورد، ۱۹۸۴؛ شیندلر و همکاران، ۱۹۸۸) با تعریف ساده اتصال مجدد به صورت شکست محلی شرط انجاماد خطوط میدان، از مسائل تعریف جدا کننده ها در سه بعد، پرهیز کرده اند. شیندلر و همکاران (۱۹۸۸) روش ساخته اند که هر "اتصال مجدد مغناطیسی عام" اگر و فقط اگر با یک میدان الکتریکی موازی همراه باشد، اثرات جهانی دارد. یا به عبارت قوی تر اگر و فقط اگر روی یک مجموعه قابل اندازه گیری از خطوط میدان در یک منطقه پخش محدود D_r داشته باشیم:

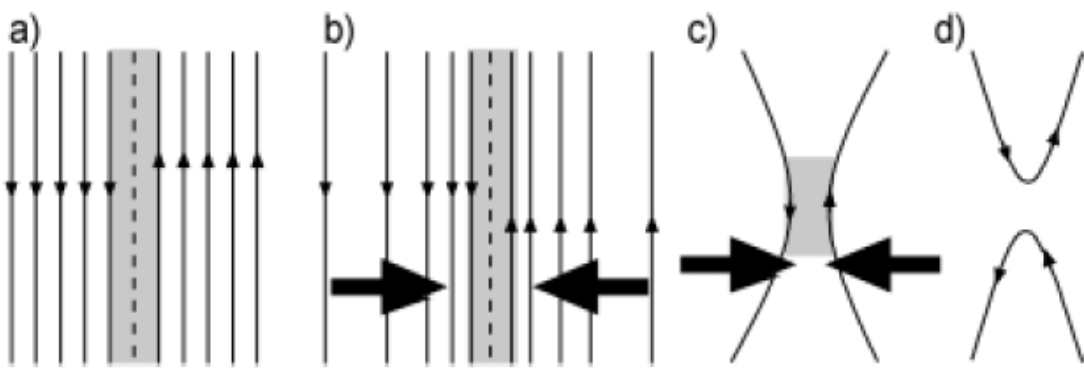
$$\int E_{II} ds \neq 0$$

آن گاه اثرات اتصال مجدد جهانی خواهد بود. انتگرال در طول یک خط میدان در ناحیه D_r گرفته می شود.

استفاده می شود. در بخش های بعدی، به طور خلاصه شباهه های اتصال مجدد دو و سه بعدی و طرح های شبیه سازی جهانی MHD، پخش عددی و میدان های الکتریکی موازی تشریح خواهد شد. سپس یک طبقه بندی از خطوط میدان مغناطیس سپهری براساس خواص فضایی آنها و به خصوص وابستگی شکل مغناطیس سپهر به تغییرات مقاومت ویژه عرضه خواهد شد.

۲ مسائل مربوط به مفهوم X-Line در سه بعد

در دو بعد، اتصال مجدد در اثر برهم کنش دو میدان مغناطیسی ناهمسو (در اینجا میدان مغناطیسی همراه با خورشیدی و میدان مغناطیسی زمین) در یک نقطه (Point) رخ می دهد به طوری که صفحه اطراف این نقطه با چهار جدا کننده به چهار بخش مجزا تقسیم می شود. خطوط میدان مغناطیسی از دو بخش مقابل هم به سوی این نقطه می آیند، در این نقطه، ساختارشان می شکند و سپس با ساختاری جدید باز اتصال می یابند. آن گاه در دو بخش دیگر از نقطه اتصال دور می شوند (شکل ۱). اتصال مجدد در مغناطیس سپهر نیز به همین روش رخ می دهد و همیشه شارش پلاسما در عرض جدا کننده ها نیز با آن همراه است. در موارد ایستا، الگوی شار مغناطیسی، یک میدان الکتریکی عمود بر صفحه را ایجاد می کند. این میدان الکتریکی مناسب با آهنگ اتصال مجدد یا همان نرخ شارش مغناطیسی متصل شده در بازه زمانی است. بخش های خروج شار معمولاً باریک و شامل یک لایه جریان هستند. این توصیف می تواند با فرض انتقال بدون تغییر در بعد سوم، به سه بعد نیز گسترش یابد. آن گاه نقطه اتصال به یک خط اتصال تبدیل می شود و یک میدان الکتریکی موازی با آن نیز وجود خواهد داشت. در یک توصیف کامل سه بعدی، جایی که میدان های در گیر در اتصال مجدد لزوماً پادموازی و متقارن نیستند، برای وقوع اتصال مجدد یک هندسه میدانی خط اتصال تنها کافی



شکل ۱. مراحل وقوع اتصال مجدد مغناطیسی (پالمورت، ۲۰۰۳).

خط میدان است) عمود باشد. بنابراین MHD ایده‌ال‌میدان الکتریکی اتصال مجدد را تولید نمی‌کند. اتصال مجدد در مدل‌های MHD ایده‌ال به واسطه پخش عددی ممکن می‌شود. این وابسته به برنامه و حل کننده عددی است و تعیین آن بسیار مشکل است. همچنین پخش عددی در هر نقطه مشخص اطراف جداکننده که در آنجا v و B به طور محسوس روی اندازه یک سلول تقسیم‌بندی تغییر می‌کنند، تفاوت‌های کوچک مقیاس محلی تولید می‌کند. برای مثال، در مکان اتصال مجدد مگنتوپلیل، خط X مغناطیسی و خط برگشتی شارش پلاسمای معمولاً به اندازه چند سلول جدا می‌شوند. حال این سؤال را می‌توان مطرح کرد که چه ارتباطی وجود دارد که میدان الکتریکی محاسبه شده از رابطه (۱) با R برابر صفر در منطقه کوچک بین خط X و خط برگشتی شارش پلاسما معکوس می‌شود. این نتیجه پیامد روش عددی انتخابی و از اندازه سلول مستقل است. بنابراین محاسبه میدان الکتریکی در نزدیکی یا در طول یک خط میدان به دلیل نبود صحت موضعی مدل، آشکارا غیراصلی است. در مغناطیس‌سپهر، چگالی پلاسما به حد کافی کوچک است طوری که مقاومت کلاسیک برخورداری عملاً صفر است. بنابراین هر اثر مقاومتی از عوامل دیگری مثل برهم‌کنش‌ها یا آشفتگی‌های موج ذره است. شکل مقاومت و وابستگی

چون E_{\parallel} هیچ‌گاه مستقیماً با حل کننده واقعی MHD محاسبه نمی‌شود، لذا به صورت یک نماینده در شبیه‌سازی‌های MHD مطرح نمی‌شود. E_{\parallel} همواره یک متغیر ثانویه است که در مرحله دوم از روی متغیرهای اولیه و با توجه به قانون اهم، رابطه (۱) محاسبه می‌شود.

$$(1) \quad E = -v \times B + R,$$

در اینجا R جمله عمومی غیرایدئالی است. یک شرط لازم و کافی برای وجود میدان الکتریکی موازی، غیرصفر بودن و عمود نبودن R بر B است. در واقع می‌تواند متشکل از چندین قسمت، مثل برخوردها، نوسان‌ها و لختی ذرات باشد. هنگام اعمال مفهوم اتصال مجدد، فرض می‌شود که R در حدود منطقه پخش D_r غیرصفر و در بقیه مناطق تقریباً صفر است، طوری که در خارج منطقه پخش بقای میدان حفظ می‌شود. شبیه‌سازی‌های MHD معتبر گوناگونی برای تعیین R دارند. ساده‌ترین آنها مگنتوهیدرودینامیک ایده‌ال است که در آن یک کد رایانه‌ای براساس شار مغناطیسی ورودی به هر سلول مکعب مستطیلی و جانشینی آن به منزله مقدار میانگین برای مرکز هر سلول انتخاب می‌شود: $R \equiv 0$. این انتخاب ایجاب می‌کند که در رابطه (۱) هیچ میدان الکتریکی موازی وجود ندارد. همچنین روی جداکننده صفر می‌شود اگر B یا v صفر شود یا بر جداکننده (که یک

یون‌سپهر به صورت یک پوسته کروی در ارتفاع ۱۰۰ کیلومتری بالای سطح زمین لحظه شده است و بین آن و یک پوسته کروی فرضی در ارتفاع $3.7R_E$ یک محیط گذردنه که فقط اثرات الکتریکی را منتقل می‌کند، در نظر گرفته شده است. البته چون در مگنتوهیدرودینامیک هیچ ذره‌ای وجود ندارد، باوجودی که لبّه به سمت استوای هلال به خوبی در شبیه‌سازی مشخص می‌شود، بعضی از مشخصه‌های دیگر که در اندازه‌گیری‌های فضایی‌ها مشاهده می‌شود در اینجا به صورت مستقیم قابل دسترسی نیست. چون سیستم MHD ایدئال پایستگی جرم و اندازه حرکت و انرژی را حفظ می‌کند و با در نظر گرفتن پلاسما در حکم یک گاز مغناطیسی تحت نیروهای الکترومغناطیسی اضافی، معادله نوعی در مکانیک سیالات را می‌توان به شکل پایستار نوشت، به‌طوری که یک کمیت پایستار در یک حجم بسته فقط وقتی تغییر می‌کند که یک شار خالص مربوط به آن کمیت از مرزهای محدود کننده حجم عبور کنده‌یعنی:

$$\frac{\partial u_a}{\partial t} + (\vec{\nabla} \cdot \vec{F}_a) = 0 \quad (2)$$

که در آن، u_a کمیت پایستار (جرم، اندازه حرکت، انرژی یا هر کمیت پایستار فیزیکی دیگر) و $F_a(u)$ تابع شار متناظر با آن است. زیرنویس $a = 1 \dots 8$ با متغیرهای پایستار $(\rho, P = \rho V, U, B)$ متناظر است و معادلات متناظر به شکل پایستار عبارت‌اند از:

$$\frac{\partial \rho}{\partial t} = -\vec{\nabla} \cdot (\rho \vec{v}), \quad (3)$$

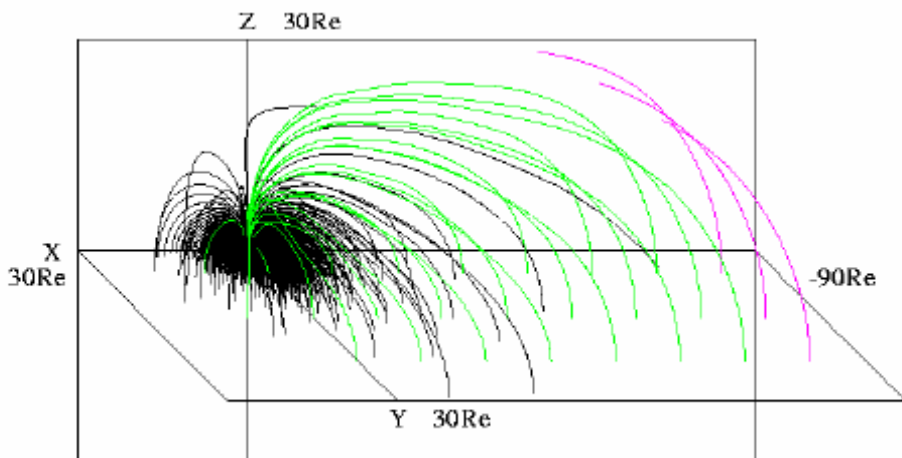
$$\frac{\partial \vec{P}}{\partial t} = -\vec{\nabla} \cdot \left(\frac{\vec{P}\vec{P}}{\rho} + P \vec{I} + \frac{B^2}{2\mu_0} \vec{B}\vec{B} \right), \quad (4)$$

$$= -\vec{\nabla} \cdot \left(\frac{\vec{P}\vec{P}}{\rho} + P \vec{I} + \frac{B^2}{2\mu_0} \vec{B}\vec{B} \right),$$

آن به پارامترهای محلی موضوعی گسترده و باز است. با وجود این در مگنتوهیدرودینامیک غیرایدئال، مقاومت الکتریکی با در نظر گرفتن $J = \eta J$ در قانون اهم به سادگی مدل می‌شود. η در اینجا مقاومت ویژه است که معمولاً ثابت یا وابسته به چگالی جریان با تغییرات شبیه تابع پله در نظر گرفته می‌شود. در MHD غیرایدئال (مقاومتی) میدان الکتریکی فیزیکی می‌تواند حتی در ناحیه E_{II} پخش فرایند اتصال مجدد تولید شود. آن‌گاه این E_{II} می‌تواند نمایشگر اتصال مجدد باشد. ولی اثرات مربوط به فرایند حل عددی که در بالا برای MHD ایدئال ذکر شد، اینجا نیز می‌تواند وجود داشته باشد. بنابراین تعیین میدان الکتریکی فیزیکی، وقتی سهم عددی سازی بزرگ باشد، حتی در مکان اتصال مجدد نیز ممکن است مشکل شود. به علاوه η باید در حکم یک انتخاب پایه، در اجراء‌های متفاوت برنامه تغییر داده و نتایج مقایسه شود. ما در این تحقیق مغناطیس سپهر را براساس تغییرات مقاومت ویژه شبیه‌سازی و نتایج را تفسیر کرده‌ایم.

۴ مشخصات و پارامترهای شبیه‌سازی

شبیه‌سازی در دستگاه بیضوی خورشیدی مرکز زمینی (GSE) صورت گرفته است. مبدأ در مرکز زمین، محور X همواره به سمت خورشید، محور Z عمود بر صفحه بیضوی و جهت گیری محور Y به‌ نحوی است که دستگاه مختصات قائم‌الزاویه راست‌گرد را تکمیل می‌کند. در این شبیه‌سازی معادلات MHD به شکل پایستار برای برهم‌کنش باد خورشیدی و مغناطیس سپهر حل می‌شود. منطقه شبیه‌سازی متشکل از طول $90R_E$ در بعد X و $60R_E$ در بعد Y و Z است. گام‌های فضایی برابر $0.5R_E$ و گام زمانی برابر 0.397 ثانیه (زمان سیر امواج آلفن) انتخاب شده است. یک دوقطبی مغناطیسی در مبدأ (مرکز زمین) فرض شده و برای یون‌سپهر معادلات الکتروستاتیک در نظر گرفته شده است. همچنین،



شکل ۲. توزیع خطوط میدان مغناطیسی در یک هندسه سه‌بعدی برای زمان ۱۰ دقیقه پس از شروع شبیه‌سازی.

که در آن V حجم سلول ΔV است. در روش حجم محدود، شارهای عبوری از وجوده هر سلول جمع و از متوسط سلولی کم می‌شود، طوری که به طور خودکار، پایستگی کمیت‌های پایستار در هر سلول دلخواه حفظ می‌شود. یک شبیه‌سازی جهانی MHD به یک محدوده شبیه‌سازی با شرایط اولیه و مرزی معلوم نیاز دارد. در اینجا

که در آن U چگالی انرژی کل است و با رابطه زیر داده می‌شود:

$$\frac{\partial U}{\partial t} = -\vec{\nabla} \cdot \left[(U + P - \frac{B^2}{2\mu_0}) \frac{\vec{P}}{\rho} + \frac{1}{\mu_0} (\vec{B} \times \frac{\vec{P}}{\rho} \times \vec{B}) \right], \quad (5)$$

شرایط مرزی اولیه میدان دوقطبی در فضای خالی و متغیرهای ورودی به محدوده شبیه‌سازی از مرز سمت خورشید است که از راه متوسط‌گیری سلولی (توصیف شده با رابطه اخیر) از راه تکرارهای متوالی در یک برنامه جمع رایانه‌ای به آن اعمال می‌شوند. به مرزهای دیگر محدوده نیز برای سلول‌های مجاور به کار رفته است. همچنین برای بررسی وابستگی شکل مغناطیسی سپهر به تغیرات مقاومت ویژه، ضمن ثابت نگاهداشتن بقیه پارامترها، برای مقاومت ویژه به ترتیب مقادیر $0/0001$ ، $0/001$ و $0/01$ اهم متر در نظر گرفته شده و برای هر مقدار نتایج شبیه‌سازی آورده شده است. مدت زمان شبیه‌سازی ۴۰ دقیقه اختیار شده است و در اینجا خروجی‌ها در فواصل ۱۰ دقیقه‌ای نشان داده شده‌اند.

$$U = \frac{P}{\gamma - 1} + \frac{1}{2} \rho v^2 + \frac{B^2}{2\mu_0}. \quad (6)$$

معادله عمومی نشان می‌دهد که شبیه‌سازی‌های جهانی MHD در اصل جواب‌های عددی اصلی معادلات دیفرانسیل جزئی غیرخطی گستته هستند. یک روش گستته‌سازی مناسب و ویژه فضایی برای سامانه MHD، ایدئال سه‌بعدی، روش حجم محدود (FVM) است که در آن محدوده شبیه‌سازی به شبکه‌ای از سلول‌ها تقسیم می‌شود. با FVM متوسط‌گیری سلولی معلوم به شکل زیر سروکار دارد:

$$u_{a,j}(t) = \frac{1}{V_j} \int_{V_j} u_{a,j}(\vec{r}, t) dV_j, \quad (7)$$

مقایسه بقیه شکل‌ها (که در اینجا آورده نشده‌اند) نیز تایید می‌کند که مقاومت ویژه 0.001 اهم‌ترین گرینه برای بازسازی شکل مغناطیس سپهر در اثر برهمنش آن با باد خورشیدی و موقع پدیده اتصال مجدد است.

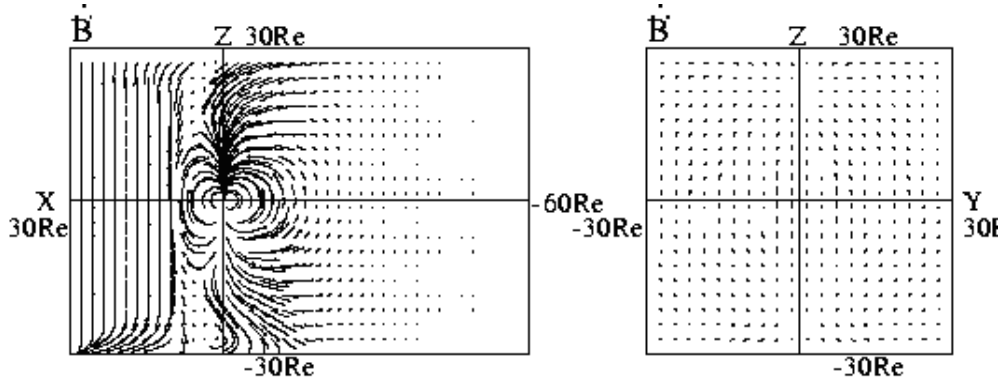
همچنین بررسی شکل‌های حاصل از شبیه‌سازی برای مقاومت‌های کمتر از 0.0001 و نیز بیشتر از 0.001 اهم‌تر (که در اینجا آورده نشده‌اند) به خصوص نشان می‌دهد که شکل مغناطیس سپهر چنان است که گوبی برهمنشی بین دو میدان مغناطیسی رخ نمی‌دهد و لذا هیچ اتصال مجددی نیز به موقع نمی‌پیوندد.

۵ توضیح شرایط و توصیف نتایج شبیه‌سازی

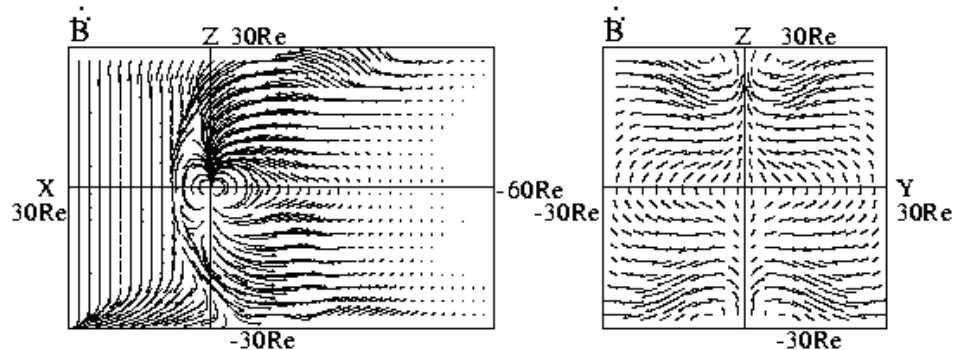
شبیه‌سازی در دستگاه مختصات Geocentric (GSE)، انجام گرفته و فضائی به ابعاد Solar Ecliptic $\{R_E \times 60 \times 60 \times 90\}$ را با سلولهای مکعبی به اضلاع $0.5R_E$ پوشش می‌دهد. تعداد کل سلولها 326000 می‌باشد که فضایی به حجم 2.61×10^5 کیلومتر مکعب را در بر می‌گیرد. شرایط مرزی اولیه در سمت خورشید که از فاصله $30R_E$ از مرکز زمین شروع می‌شود، عبارت‌انداز: سرعت باد خورشیدی $= 420$ کیلومتر بر ثانیه، جهت و دامنه میدان مغناطیسی بین سیاره ای = جنوبسو و 5 نانوتسلا و چگالی ذرات پلاسمای $= 5$ عدد بر سانتی متر مکعب. به منظور حفظ پایستگی کمیت‌های پایستار، شار خالص ورودی به هر سلول به دست آورده شده و از متوسط مرکز هر سلول کم گردیده و باقی مانده به عنوان شرایط مرزی برای سلولهای مجاور به کار رفته است. همچنین برای بررسی وابستگی شکل مگنتوسفر به تغییرات مقاومت ویژه، ضمن ثابت نگاه داشتن بقیه پارامترها، برای مقاومت ویژه به ترتیب مقادیر $0.0001, 0.001, 0.01$ اهم‌تر در نظر گرفته شده و برای هر مقدار نتایج شبیه‌سازی آورده شده است. مدت زمان انجام شبیه‌سازی

به منظور آشکارشدن هندسه حل معادلات، در شکل 2 تصویر سه‌بعدی از خطوط میدان در منطقه شبیه‌سازی، البته فقط برای زمان 10 دقیقه پس از شروع آورده شده است. شکل‌های $3, 4, 5$ و 6 نحوه تغییر شکل مغناطیس سپهر را در این فاصله‌های زمانی برای مقاومت ویژه 0.001 اهم‌تر نشان می‌دهند. مقایسه شکل‌ها نشان می‌دهد که با گذشت زمان، خطوط میدان هرچه بیشتر از وضعیت توزیع اولیه که مربوط به خطوط دوقطبی است، فاصله می‌گیرند، در قسمت نیمه‌شب به سمت دور از خورشید کشیده می‌شوند و دُم طویلی تشکیل می‌دهند. دقت در نحوه تغییر توزیع خطوط در اطراف 0° و مخصوصاً تا فاصله تقریبی $30R_E$ روی محور x نحوه شکل‌گیری اتصال مجدد برای خطوط میدان را نشان می‌دهد. همچنین شکل‌های 7 و 8 نتایج را به ترتیب برای مقاومت ویژه 0.0001 و 0.01 اهم‌تر نشان می‌دهند (فقط تصاویر مربوط به زمان 30 دقیقه پس از شروع آورده شده است). بررسی این شکل‌ها و مقایسه آنها با شکل‌های مربوط به مقاومت ویژه 0.001 اهم‌تر نشان می‌دهد که در نظر گرفتن این مقادیر ویژه برای محیط، منجر به نتایج مورد انتظار نمی‌شود. شکل‌های 9 و 10 نیز خطوط نیروی مغناطیسی بازسازی شده با نرم‌افزار VRML (Virtual Reality Language Modeling) را نشان می‌دهند.

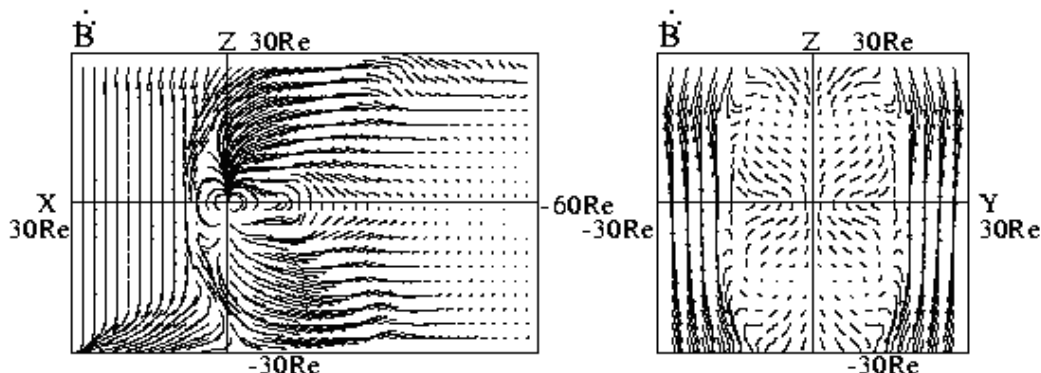
مقایسه شکل‌های 5 و 7 و 8 که همگی مربوط به زمان 30 دقیقه پس از شروع ولی برای مقاومت‌های متفاوت ذکر شده هستند، نشان می‌دهد که مکان و زمان وقوع اتصال مجدد، بستگی زیادی به مقاومت ویژه محیط و به خصوص به مقاومت ویژه 0.001 اهم‌تر دارد. نحوه شکل‌گیری اتصال مجدد از آنگک خاصی برشوردار، و مطابق با انتظاری است که با توجه به مشاهدات ماهواره‌ای نیز قابل پیش‌بینی بوده است. مطابق آن، خطوط میدان باید در اثر فشار مغناطیسی همراه باد خورشیدی، در قسمت نیمه‌شب تشکیل دُم طویل مغناطیسی دهند.



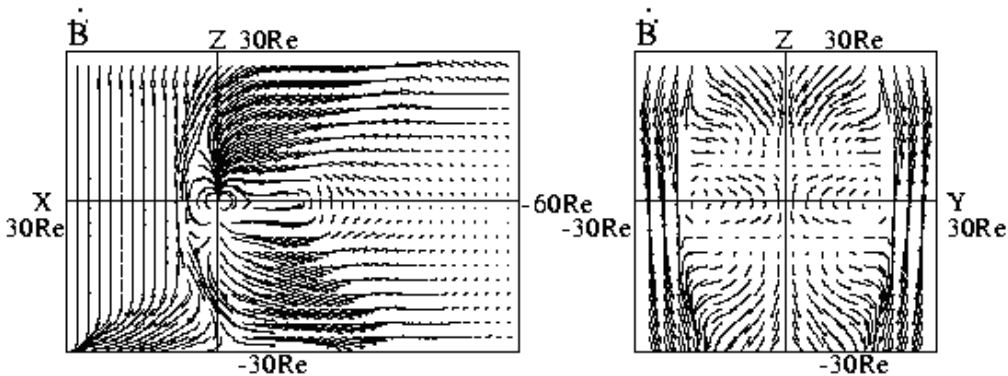
شکل ۳. توزیع خطوط میدان مغناطیسی سپهر در صفحه عمود بر صفحه نصف‌النهاری Y-Z (سمت راست) و در صفحه عمود بر آن X-Z (سمت چپ) در فاصله ۲۰ برابر شعاع زمین در قسمت نیمه‌شب، ۱۰ دقیقه پس از شروع با مقاومت ویژه 0.001 اهمتر.



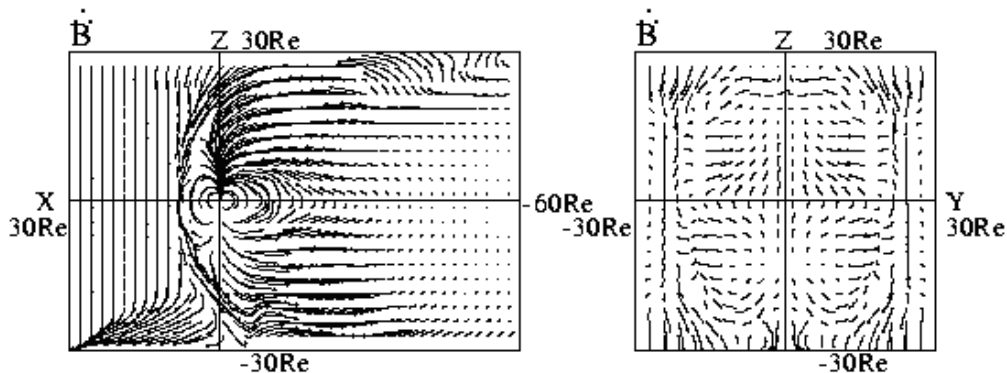
شکل ۴. توزیع خطوط میدان مغناطیسی سپهر در فاصله ۲۰ برابر شعاع زمین در قسمت نیمه‌شب، ۲۰ دقیقه پس از شروع با مقاومت ویژه 0.001 اهمتر. در صفحه Y-Z (سمت راست) در محل $x = -20R_E$ شکل‌گیری ساختار جدید خطوط میدان شروع شده است و در صفحه X-Z (سمت چپ) خطوط میدان به سمت دم گسترش می‌یابند.



شکل ۵. خطوط میدان مغناطیسی سپهر در فاصله ۲۰ برابر شعاع زمین در قسمت نیمه‌شب، صفحه Y-Z (سمت راست) و صفحه X-Z (سمت چپ)، ۳۰ دقیقه پس از شروع با مقاومت ویژه 0.001 اهمتر. گسترش خطوط میدان و ایجاد اتصال مجدد وضوح بیشتری یافته است، طوری که در اطراف $z = 0$ شروع تشکیل حلقه‌های اتصال مجدد دیده می‌شود و در مقادیر Z بیشتر، کشیدگی خطوط میدان به سمت دم واضح‌تر شده است.

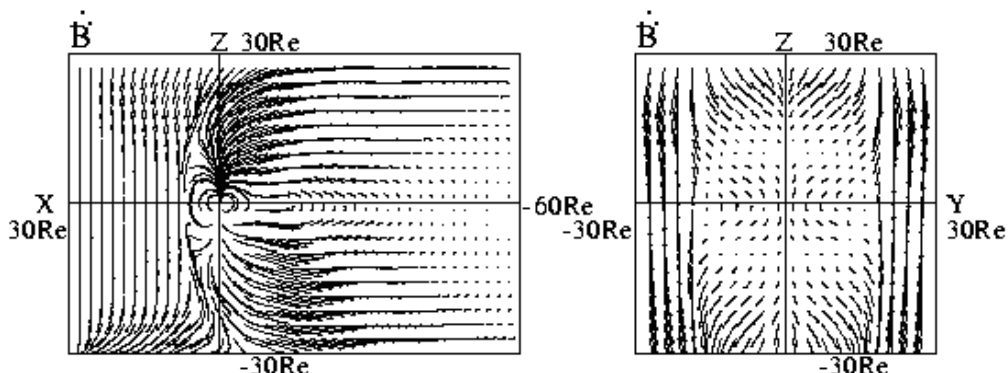


شکل ۶. توزیع خطوط میدان مغناطیسی مغناطیس سپهر در فاصله 20Re برابر شعاع زمین در قسمت نیمه‌شب، صفحه Y-Z (سمت راست) و صفحه X-Z (سمت چپ)، ۴۰ دقیقه پس از شروع با مقاومت ویژه 1000A/m .

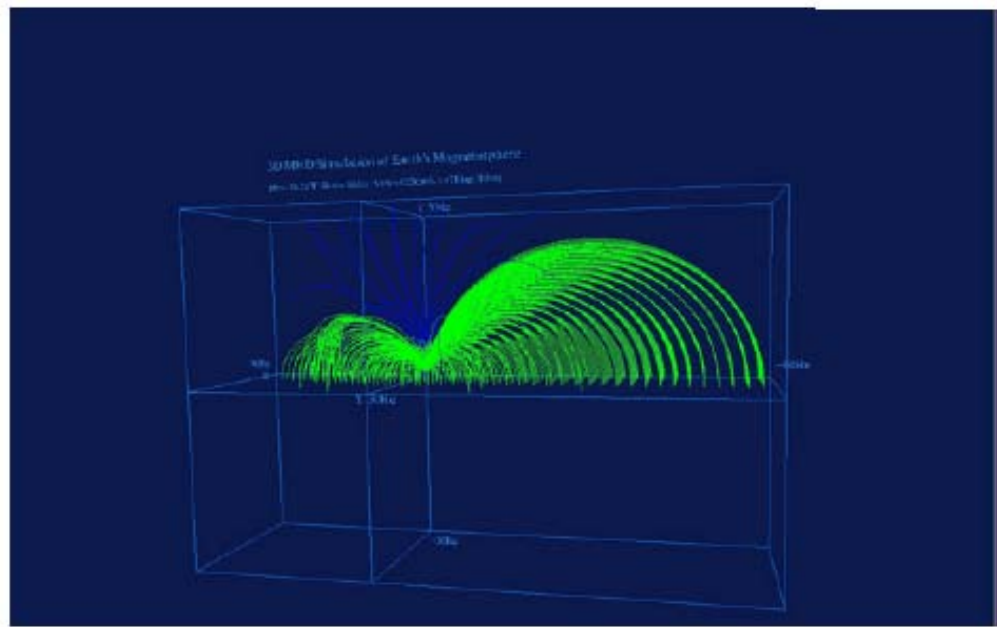


شکل ۷. شبیه‌سازی شکل مغناطیس سپهر ۳۰ دقیقه پس از شروع برای مقاومت ویژه 1000A/m ، صفحه Y-Z (سمت راست) و صفحه X-Z (سمت چپ).

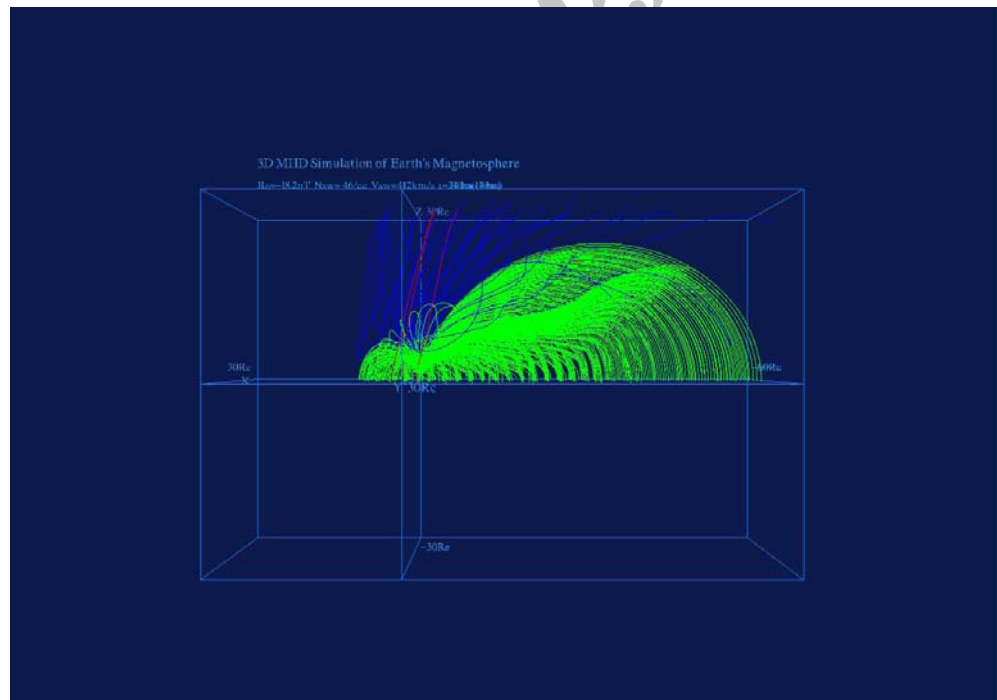
پدیده‌های گسترش و اتصال مجدد در مقایسه با حالت مقاومت ویژه 100A/m (شکل ۵) وضوح خاصی ندارند.



شکل ۸. شبیه‌سازی شکل مغناطیس سپهر ۳۰ دقیقه پس از شروع برای مقاومت ویژه 100A/m ، صفحه Y-Z (سمت راست) و صفحه X-Z (سمت چپ)، که در اینجا نیز وقوع اتصال مجدد واضح نیست.



شکل ۹. خطوط نیروی مغناطیسی مغناطیس سپهر بازسازی شده با نرم افزار VRML برای ۰/۰۰۱ اهم متر.



شکل ۱۰. خطوط نیروی مغناطیسی مغناطیس سپهر بازسازی شده با نرم افزار VRML برای ۰/۰۱ اهم متر.

مغناطیسی همراه باد خورشیدی، در قسمت نیمه شب تشکیل دُم طویل مغناطیسی را می دهد.

مقایسه بقیه شکل ها (که در اینجا آورده نشده اند) نیز تایید می کند که مقاومت ویژه $100/0$ اهم متر بهترین گرینه برای بازسازی شکل مگنتوسفر در اثر اندر کنش آن با باد خورشیدی و وقوع پدیده اتصال مجدد می باشد.

همچنین بررسی شکل های حاصل از شبیه سازی برای مقاومت های کمتر از $100/0$ و نیز بیشتر از $100/0$ اهم متر (که در اینجا آورده نشده اند) به خصوص نشان می دهد که شکل مگنتوسفر چنان است که گویی اندر کنشی بین دو میدان مغناطیسی رخ نمی دهد و لذا هیچ اتصال مجددی نیز به وقوع نمی پیوندد.

۶ نتیجه گیری

با شبیه سازی های مگنتو هیدرودینامیک و با به کار گیری برنامه های رایانه ای MHD ایدنال در مقیاس جهانی می توان چگونگی وابستگی بر هم کنش باد خورشیدی - مغناطیس سپهر - یون سپهر را به شرایط اولیه مربوط به پارامتر های میدان مغناطیسی بین سیاره ای همراه باد خورشیدی و نیز شرایط محیطی مربوط به مکان بر هم کنش، به خصوص مقاومت ویژه محیط، مورد بررسی قرار داد و با تغییر مجازی پارامترها، نحوه و شرایط شکل گیری و وقوع پدیده اتصال مجدد مغناطیسی را توصیف کرد. بررسی شکل های حاصل از شبیه سازی در ارتباط با تغییر مقاومت ویژه نشان می دهد که برای مقاومت ویژه محیطی $100/0$ اهم متر، خطوط میدان مغناطیسی در سوی خورشید تا حد تقریبی 10 برابر شاعع زمین متراکم می شوند و در قسمت نیمه شب تا فواصل طولانی (بیشتر از 60 برابر شاعع زمین) گسترش می یابند. به خصوص بررسی تغییر جهت سرعت توده پلاسما در بخش میانی همه شکل ها نشان می دهد که اتصال مجدد

۴۰ دقیقه اختیار شده و در اینجا خروجی ها در فواصل 10 دقیقه ای نشان داده شده اند.

به منظور آشکار شدن هندسه حل معادلات، در شکل 2 تصویر سه بعدی از خطوط میدان در منطقه شبیه سازی، البته فقط برای زمان 10 دقیقه پس از شروع آورده شده است. شکل های $3, 4, 5$ و 6 نحوه تغییر شکل مگنتوسفر را در این فاصله های زمانی برای مقاومت ویژه $100/0$ اهم متر نشان می دهد. مقایسه شکل ها نشان می دهد که با گذشت زمان خطوط میدان هر چه بیشتر از وضعیت توزیع اولیه که مربوط به خطوط دوقطبی است، فاصله گرفته و در قسمت نیمه شب به سمت دور از خورشید کشیده می شوند و تشکیل دُم طویل را می دهن. دقت در نحوه تغییر توزیع خطوط در اطراف $0 = \gamma$ و مخصوصاً تا فاصله تقریبی $30R_E$ روی محور x نحوه شکل گیری اتصال مجدد برای خطوط میدان را نشان می دهد. همچنین شکل های 7 و 8 نتایج را به ترتیب برای مقاومت ویژه $100/0$ و $100/0$ اهم متر نشان می دهد (فقط تصاویر مربوط به زمان 30 دقیقه پس از شروع آورده شده اند). بررسی این شکل ها و مقایسه آن ها با شکل های مربوط به مقاومت ویژه $100/0$ اهم متر نشان می دهد که در نظر گرفتن این مقادیر ویژه برای محیط منجر به نتایج مورد انتظار نمی گردد. شکل های 9 و 10 نیز خطوط نیروی مغناطیسی بازسازی شده توسط نرم افزار VRML را نشان می دهند.

مقایسه شکل های 5 و 8 که تماماً مربوط به زمان 30 دقیقه پس از شروع ولی برای مقاومت های مختلف ذکر شده می باشند، نشان می دهد که مکان و زمان وقوع اتصال مجدد بستگی زیادی به مقاومت ویژه محیط دارد و به خصوص با مقاومت ویژه $100/0$ اهم متر نحوه شکل گیری اتصال مجدد از آهنگ خاصی برخوردار بوده و مطابق با انتظاری که بر حسب مشاهدات ماهواره ای قابل پیش بینی است خطوط میدان همان طور که باید در اثر فشار

- D., and Singer, H. J., 2000, Magnrtic storm: solar wind driver and magnetospheric response: *J. Geophys., Res.*, **107**, 1440-1461.
- Laitinen,T. V., Pulkkinen, T. I., Palmroth, M., Janhunen, P., and Koskinen, H. E. J., 2005, The magnetotail reconnection region in a global MHD simulation: *Ann. Geophys.*, **23**, 3753-3764.
- Le Veque, R. J., 1992, Numerical methods for conservation laws, Birkhser verlag, Boston.
- Palmroth, M., Pulkkinen, T. L., Janhunen, P., and Wu, C. C., 2003, Stormtime energy transfer in global MHD simulation: *J. Geophys., Res.*, **168**, 1048-1060.
- Parker, E. N., 1957, Sweet's mechanism for merging magnetic fields in conducting fluids: *J. Geophys., Res.*, **62**, 509-520.
- Petschek, H. E., 1964, Magnetic field annihilation: *NASA Special Publ., NASA-SP.*, **50**, 425-439.
- Schindler, K., Hesse, M., and Birn, J., 1988, General magnetic reconnection, parallel electric fields, and helicity: *J. Geophys., Res.*, **93**, 5547-5557.
- Sweet, P. A., 1958, The neutral point theory of solar flares: In Lehnert, B., editor, Electromagnetic phenomena in cosmolical physics: Cambridge Uni., Press, New York.
- Walker, R. J., Ogino, T., Reader, J., and Ashour-Abdalla, M., 1993, A global magnetohydrodynamic simulation of the magnetosphere when the interplanetary magnetic field is southward: The onset of magnetotail reconnection: *J. Geophys., Res.*, **98**, 17235-17249.

مغناطیسی در مکان تقریبی حدود ۲۰ برابر شعاع زمین و در قسمت نیمه شب ($20 R_E$ - ~) رخ می‌دهد و برای مقاومت‌های ویژه کمتر و بیشتر از این مقدار نحوه شکل‌گیری خطوط میدان و موقع اتصال مجدد وضوح خاصی ندارد. برای کسب نتایج دقیق‌تر پیشنهاد می‌شود که به جای استفاده از مقاومت ویژه ثابت، الگوهای مقاومتی وابسته به مکان یا زمان در شبیه‌سازی به کار روند و با مقاومت ویژه حاصل از مدل‌سازی داده‌های ماهواره‌ای مقایسه شوند.

منابع

- Axford, W. I., 1984, Magnetic field reconnection: *Geophysical Monograph*, American Geophysical Union, **30**, 1-8.
- Birn, J., Drake, J. F., Shay, M. A., Rogers, B. N., Denton, R. E., Hesse, M., and et al., 2001, GEM magnetic reconnection challenge: *J. Geophys., Res.*, **106**, 3715-3719.
- Dungey, J. W., 1961, Interplanetary magnetic field and the auroral zones: *Phys., Rev., Lett.*, **6**, 47-48.
- Fedder, J. A., Slinker, S. P., Lyon, J. G., and Elphinstone, R. D., 1995, Global numerical simulation of the growth phase and the expansion onset of the substorm observed by Viking: *J. Geophys., Res.*, **100**, 19083- 19093.
- Huttunen, K. E. J., Koskinen, H. E. J., Pulkkinen, T. I., Pulkkinen, A., Palmroth, M., Reeves, G.